

γ astronomia con telescopi Cherenkov

Antonio Stamerra*

Università di Siena / INFN Pisa

- ◆ L'Universo non termico
- ◆ Problematiche in astroparticle
- ◆ Il cielo gamma
- ◆ Telescopi Cherenkov

* antonio.stamerra@pi.infn.it

MAGIC Collaboration

<http://www.pi.infn.it/magic>

L'Universo non termico

- Emissione termica

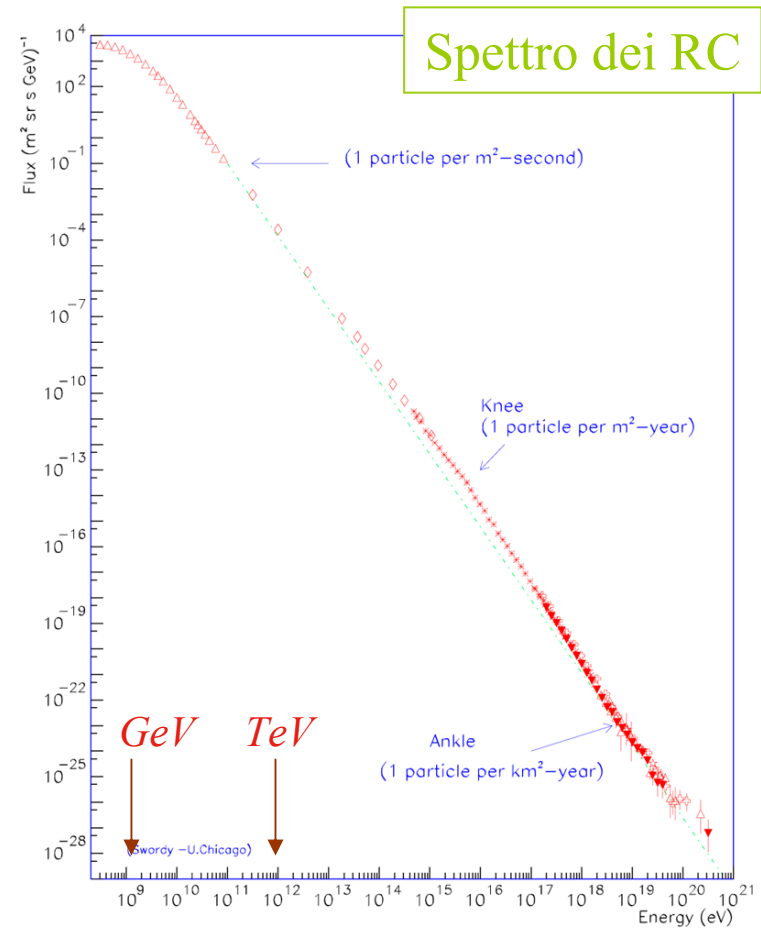
Spettro di corpo nero

Radio \Leftrightarrow UV

- Emissione non termica

Accelerazione di particelle cariche

X-ray \Leftrightarrow γ -ray (regione VHE)



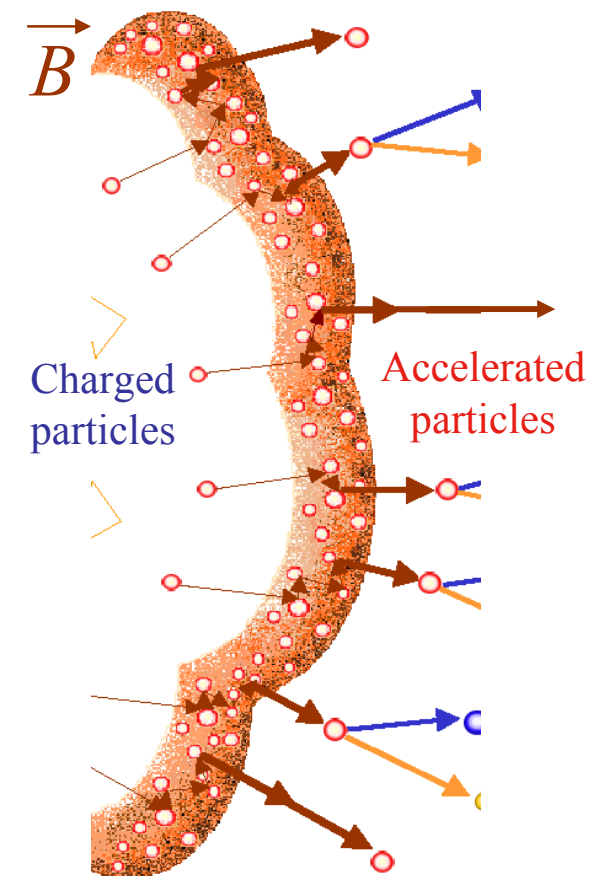
Acceleratori cosmici

★ Meccanismo di Fermi

campi magnetici + particle injection +
intrappolamento zona di acceleraz.

★ Diffusione galattica/extragalattica

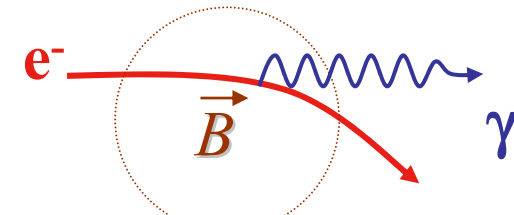
Particelle deviate da campi magnetici:
direzione di provenienza non coincide
con sorgente di produzione



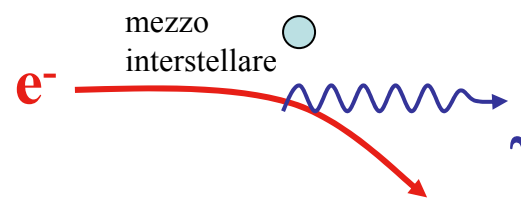
Raggi γ : tracciatori delle sorgenti di accelerazione

Produzione di raggi γ

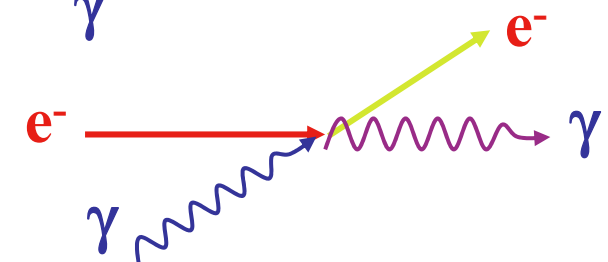
★ Radiazione di sincrotrone



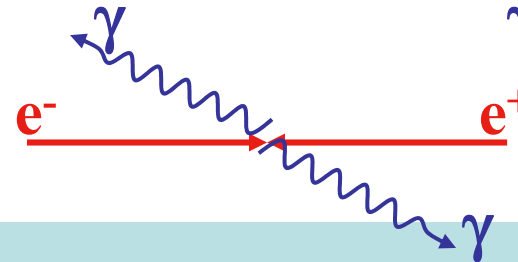
★ Bremstrahlung



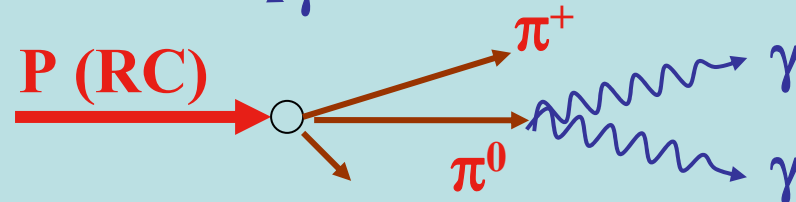
★ Compton inverso



★ Annichilazione



★ Collisioni energetiche



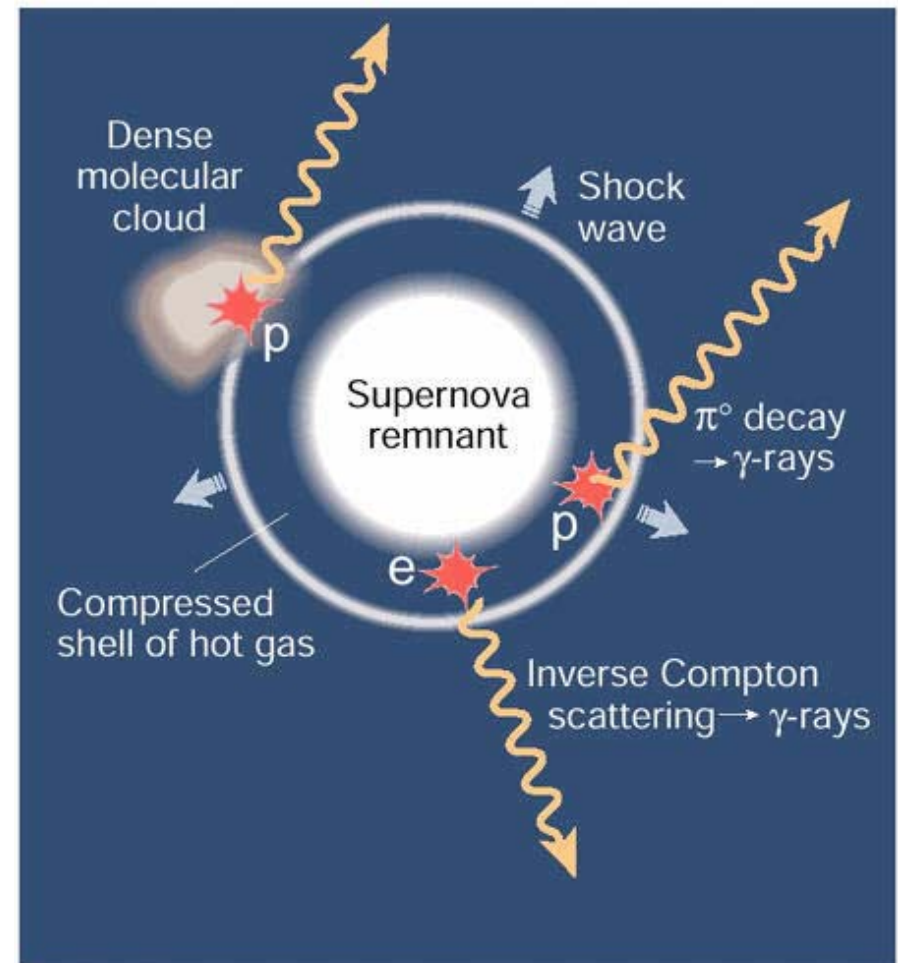
Problematiche in astroparticle

- ★ Sorgenti di accelerazione dei RC
- ★ Gamma-Ray-Horizon (GRH)
 - ★ Parametri cosmologici
- ★ Dark Matter (DM)
- ★ Gamma-Ray-Burst (GRB)
- ★ ...

Sorgenti di RC

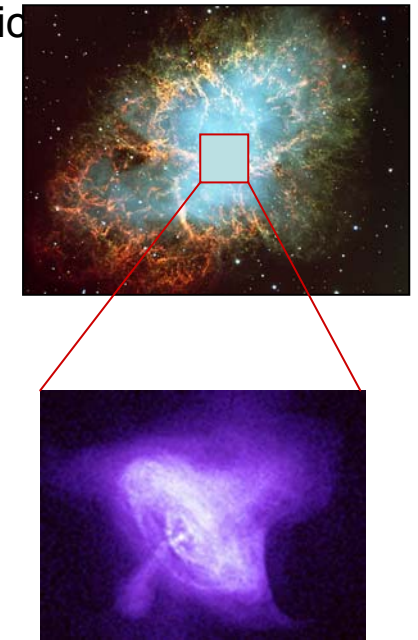
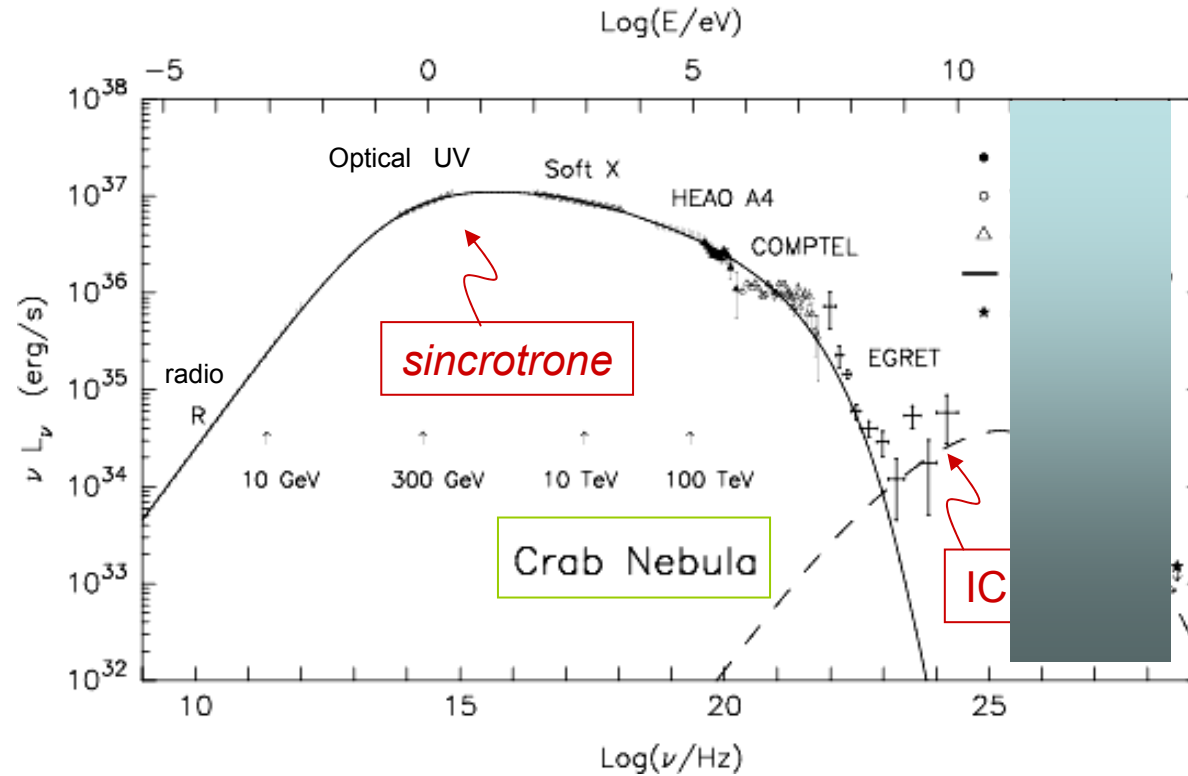
- ★ Si ritiene che le SNR siano la sede di accelerazione dei RC fino a 10^{15} eV
- ★ Emissione γ da decadimento π^0 e interazione p con nubi molecolari
- ★ Identificabile da spettro di decadimento del π^0

Non si hanno sorgenti γ con una chiara indicazione di decadimento da π^0



Dilemma e-/had?

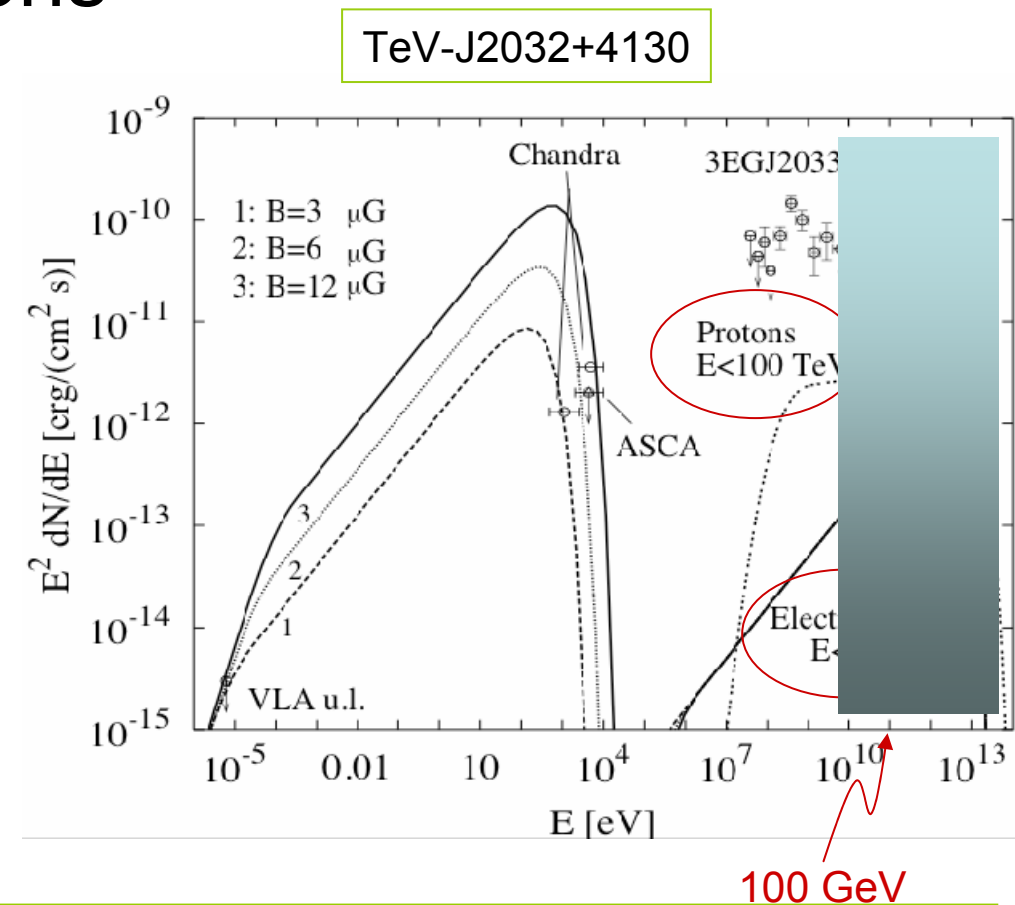
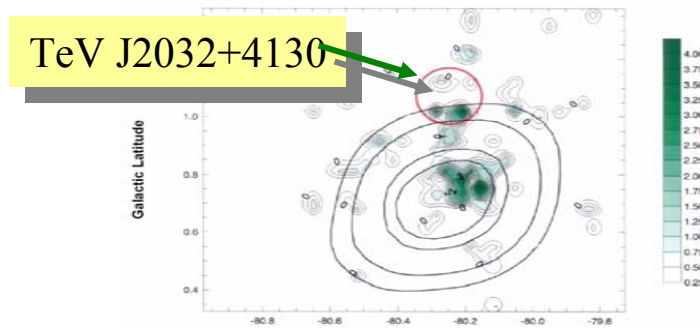
Spettri energia a due componenti (sincrotrone + IC)
 giustificabile con l'emissione da parte degli elettroni relativistici



Dilemma e-/had?

OB stellar associations

- ❖ Nuova popolazione di oggetti che possono accelerare protoni/nuclei e competere con le SNR nella produzione di RC
- ❖ Identificate nel TeV (TeV-J2032, TeV-J1013) ma non ad altre lunghezze d'onda...



Sorgenti di accelerazione RC
Gamma-Ray-Horizon (GRH)
Dark Matter (DM)
Gamma-Ray-Burst (GRB)

γ astronomia con telescopi Cherenkov

γ -Ray Horizon

$$\gamma_{HE} \gamma_{EBL} \rightarrow e^+ e^-$$

$$\Phi_\gamma^{observed}(E) = \Phi_\gamma^{unabsorbed}(E) \cdot e^{-\tau(E_\gamma, z)}$$

$\tau(E, z)$: Optical Depth

Gamma Ray Horizon (GRH): $\tau=1$

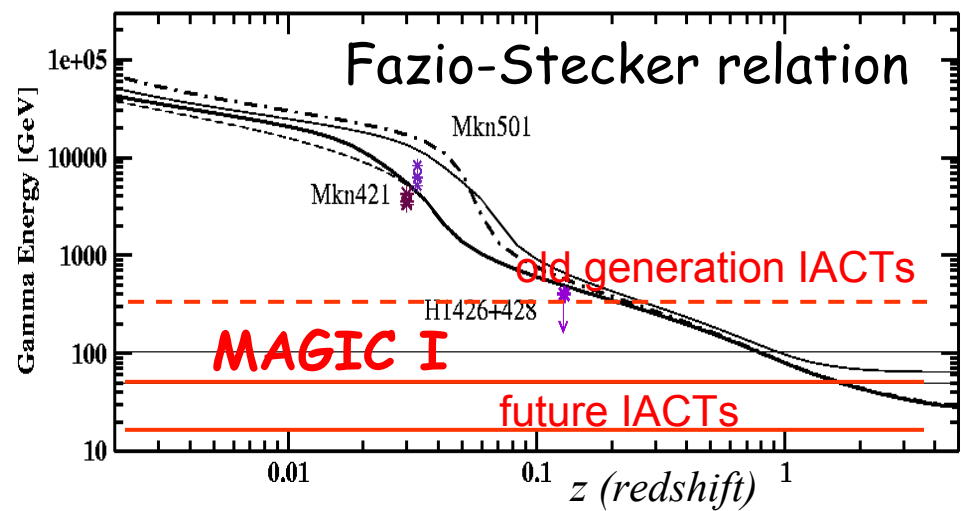
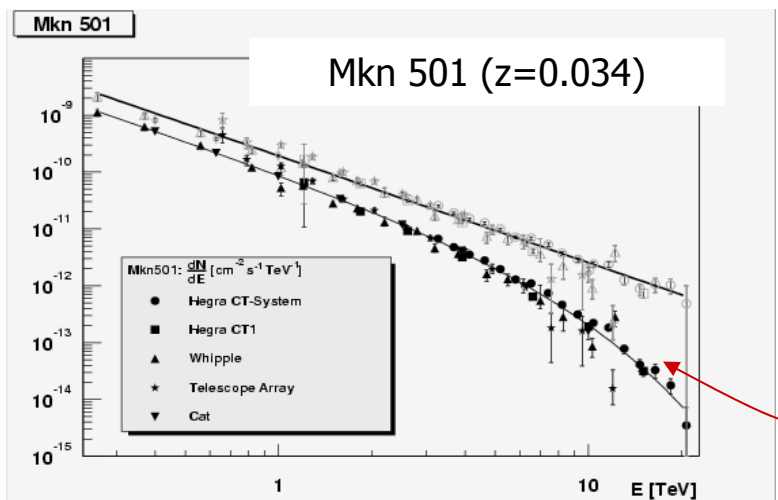


\Rightarrow Assorbimento dei γ
dall'interazione con
Extragalactic Background
Light (EBL)



γ -Ray Horizon

- ★ L'assorbimento dipende dal redshift z e dall'energia dei γ
Fazio-Stecker relation
- ★ L'assorbimento determina un cutoff negli spettri degli AGN
- ★ Misura dei cutoff di sorgenti a diversi z \Rightarrow misura dell'EBL.



Kneiske, Mannheim, Hartmann: *Astron. Astrophys.* 386 (2002)

Bassa energia di soglia

\Rightarrow osservazione di sorgenti più distanti

Cut-off

Dark Matter search

- ★ Observational cosmology: 25% of density of Universe consists of Cold Dark Matter (CDM)
- ★ Stable weakly interacting massive particles (WIMPS) are attractive CDM candidates
- ★ Direct searches (DAMA, CDMS, CRESST,...)
- ★ Indirect searches: annihilation products (ν , γ ,...)
- ★ neutralino $\chi \Rightarrow$ WIMP candidate

Neutralino

- Lightest SUSY particle
 $(100\text{ GeV} \leq m_\chi \leq 1\text{ TeV})$
- Stable (R -parity)
- Weakly interacting: mixture of neutral s-fermions (Higgsino, Gaugino)

At one loop, **neutralinos** can annihilate to

$$\chi\chi \rightarrow \bar{q}q \quad \gamma\text{-continuum}$$

$$\chi\chi \rightarrow \gamma\gamma \quad \gamma\text{-line} \quad E_\gamma = m_\chi$$

$$\chi\chi \rightarrow \gamma Z \quad \gamma\text{-line} \quad E_\gamma = m_\chi - m_Z^2/m_\chi$$

γ -flux predictions from χ annihilations

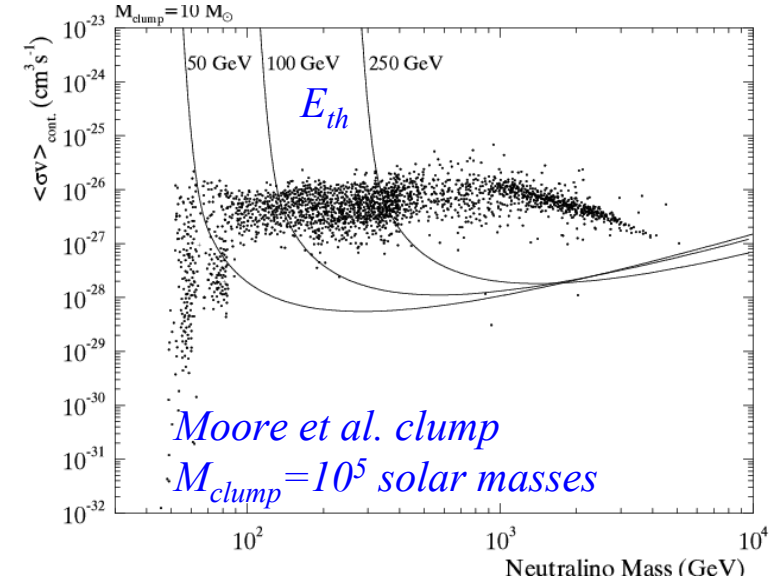
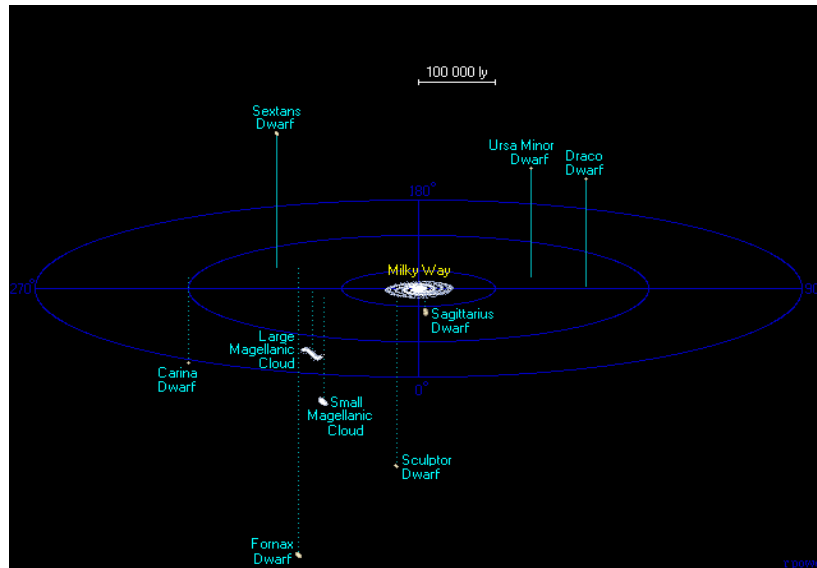
$$\Phi_\gamma(\Omega) = \frac{N_\gamma v \sigma}{4\pi \cdot M_\chi^2} \cdot \int \rho_{DM}^2(l) dl(\Omega)$$

Cross section
 χ mass

DM halo model

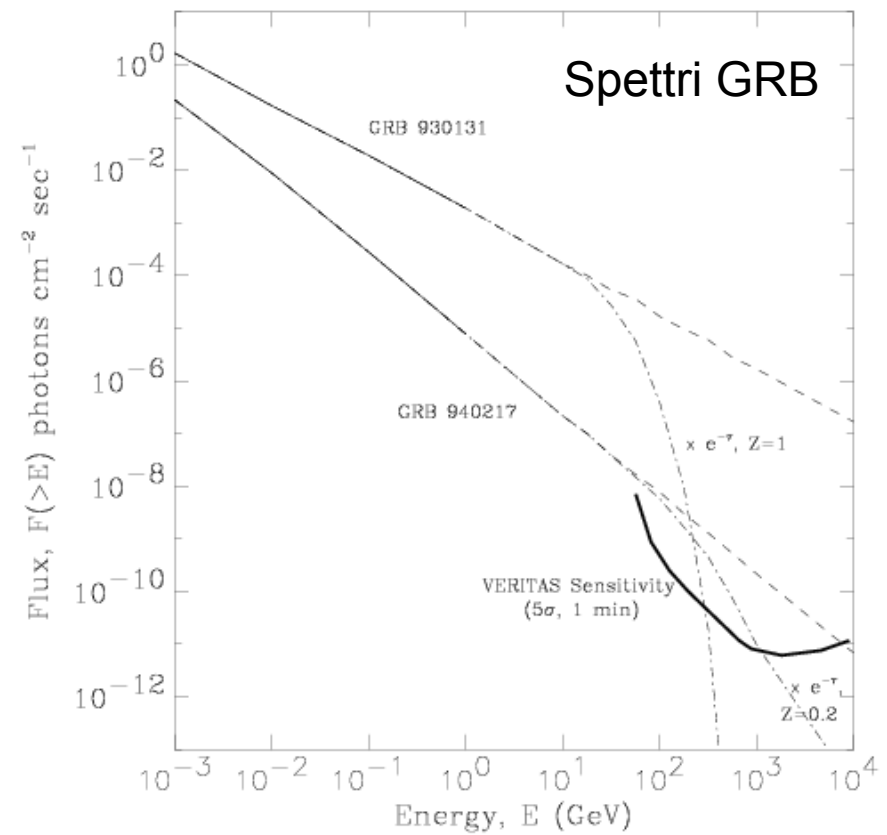
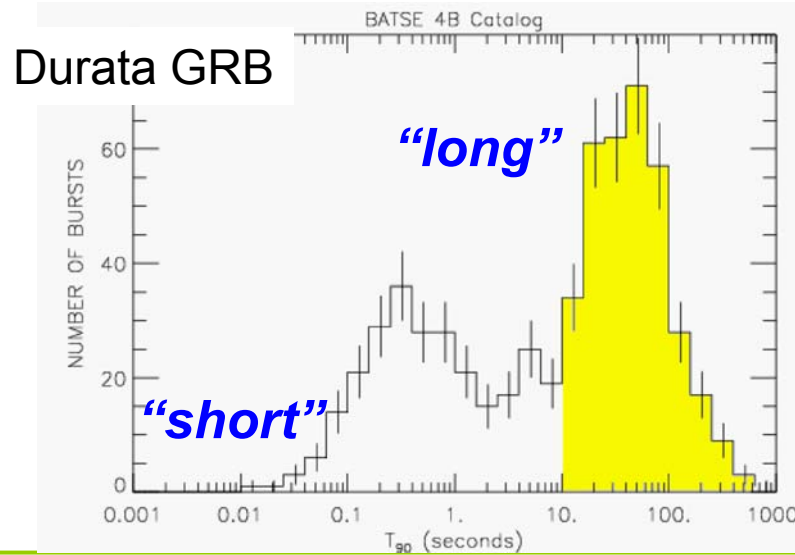
Dark Matter search

- ❖ Ricerca di addensamenti di DM per evidenziare il segnale γ
- ❖ Flusso γ continuum prevale sulle linee γ ...
- Centro galattico sfavorito (flusso di fondo gamma diffuso elevato)
- Ricerca di addensamenti di DM: ammassi globulari, galassie sferoidali...



Gamma-Ray-Burst

- ◆ Osservazione della prompt emission nella regione VHE
- ◆ Estrapolazione spettri BATSE: flusso elevato
- ◆ Sistema di alert (GCN) e puntamento rapido

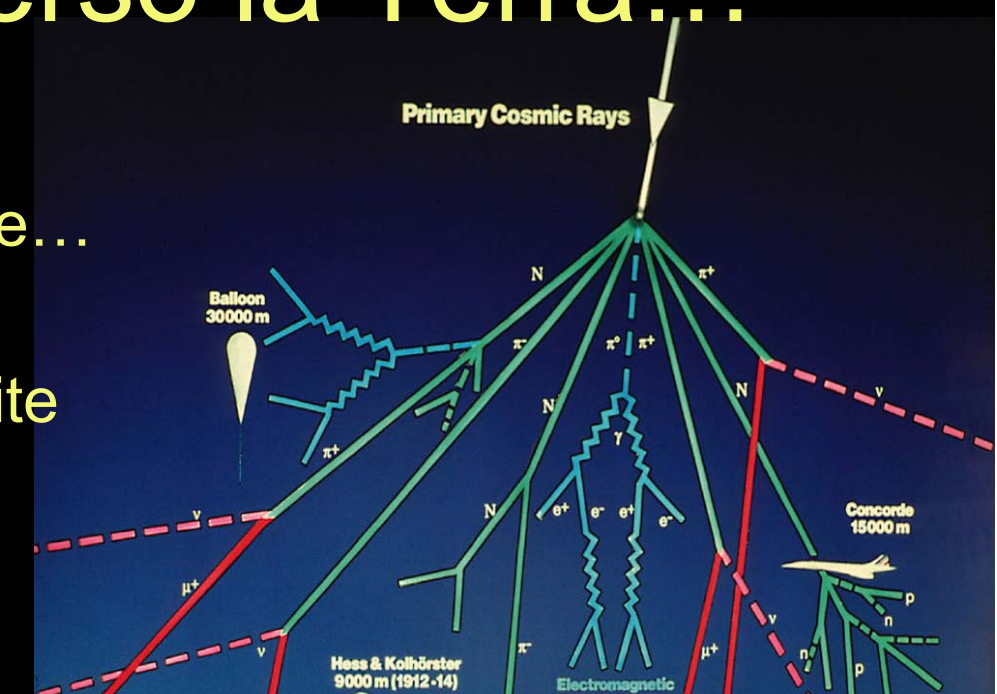


Viaggio verso la Terra...

La radiazione gamma VHE è bloccata dall'atmosfera terrestre...

$1054 \text{ g/cm}^2 - 28X_0$

- Osservazione diretta: satellite
- Osservazione indiretta:
telescopi Cherenkov, EAS,
underground detectors...



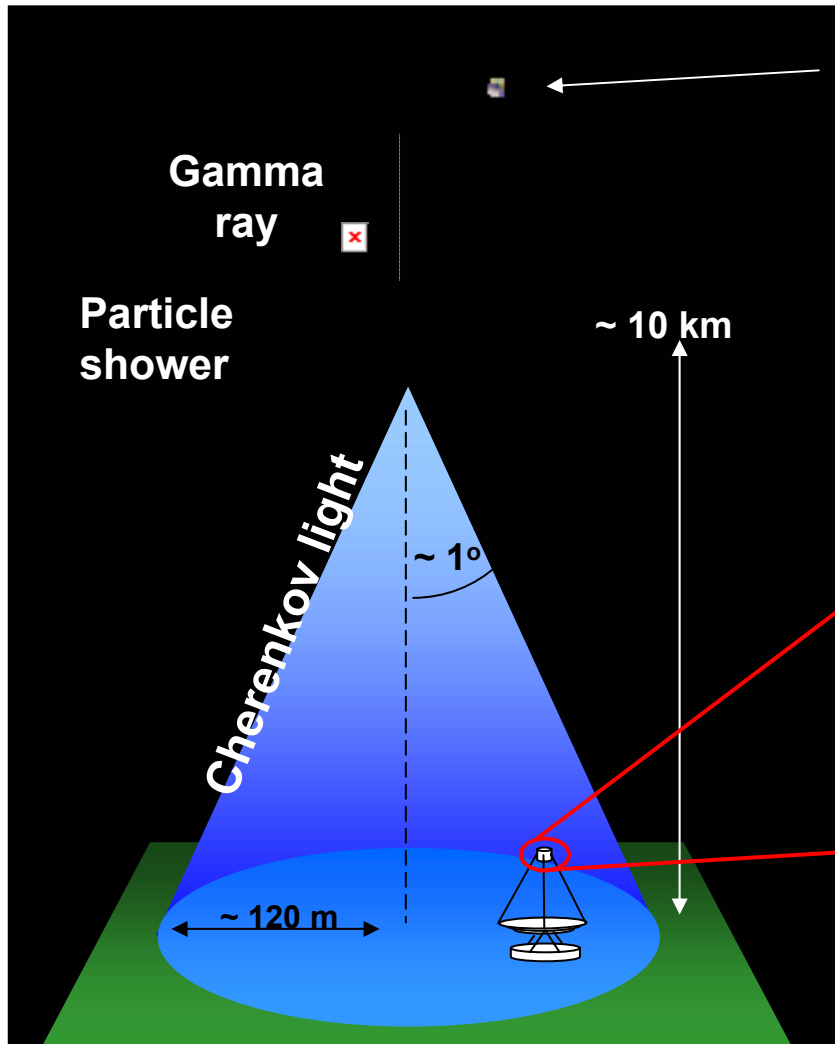
TIBET-AS (@4300m a.s.l.)
Scintillator-Array, $350 \times 350 \text{ m}^2$
Detections: Crab, Mkn421

Soon:
Argo-YBJ
 6500 m^2 RPC



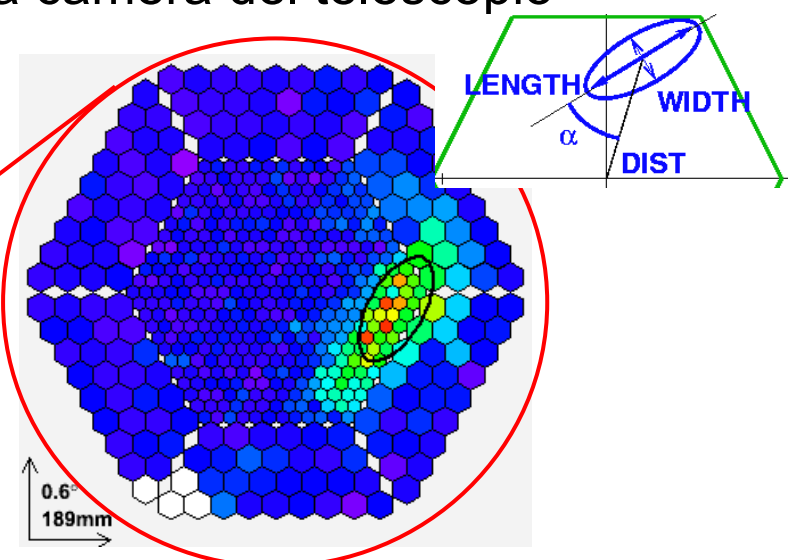
Imaging Air Cherenkov Telescopes

IACT



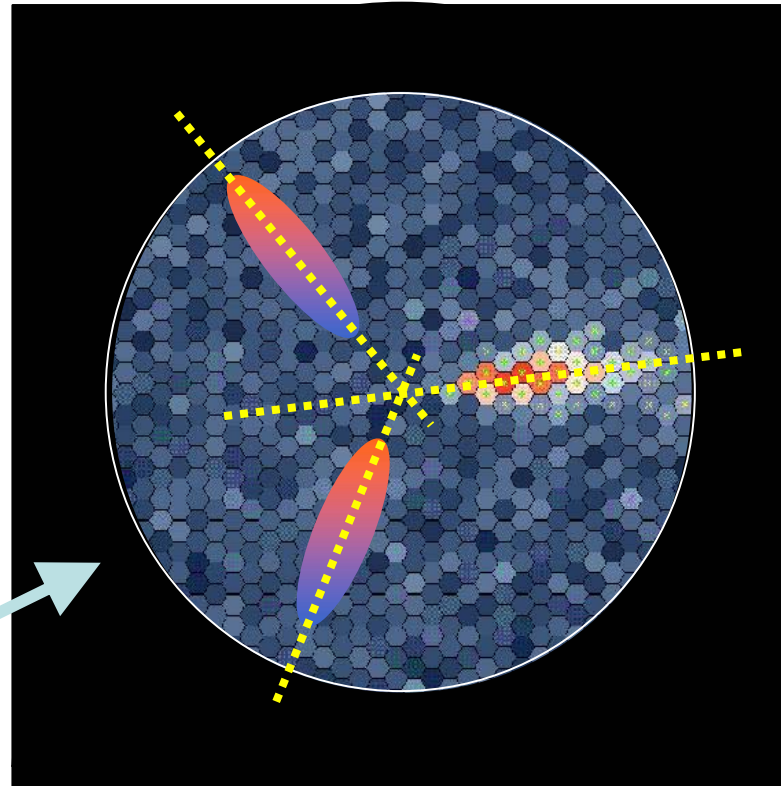
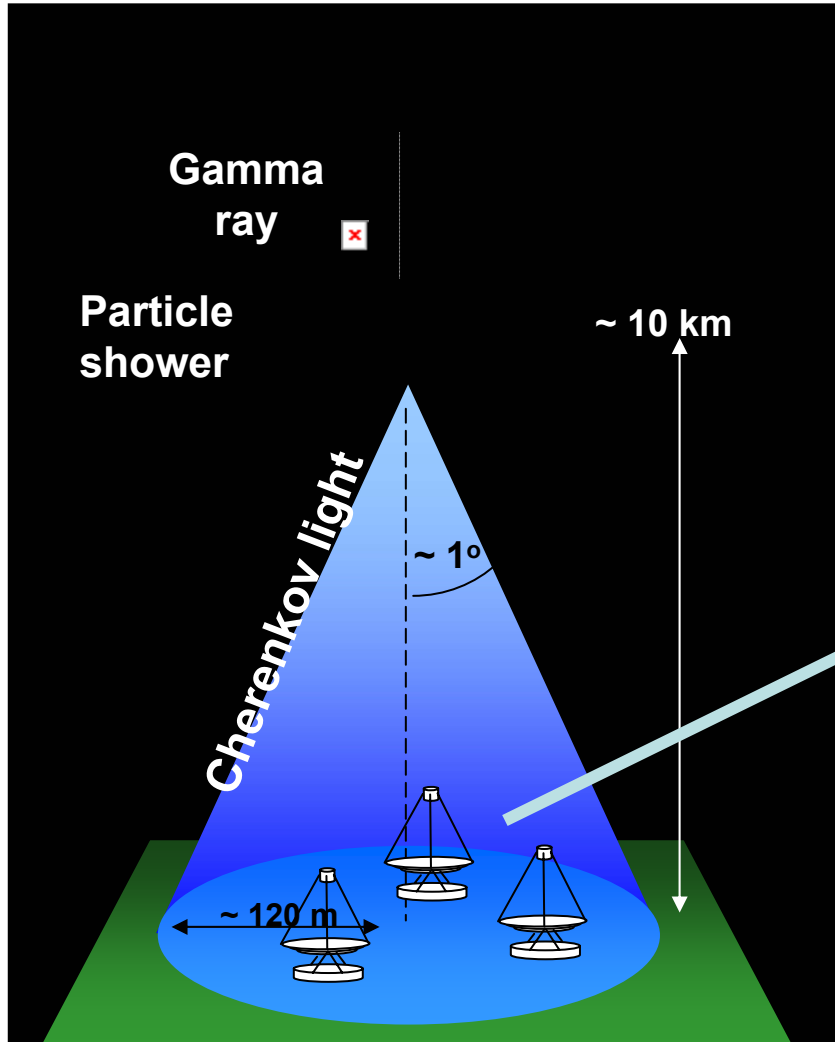
GLAST (ingrandito)

Immagine del flash Cherenkov
sulla camera del telescopio



- Ricostruzione del primario
- particle id: **discriminazione dal fondo di adroni**
- direzione, energia...

Imaging Air Cherenkov Telescopes



Utilizzando piu' immagini è possibile ricostruire la direzione di arrivo con maggiore precisione (visione stereo)

0th generation of Cherenkov telescopes



Glencullen, Ireland ~1962

Nessuna discriminazione dal fondo di raggi cosmici !

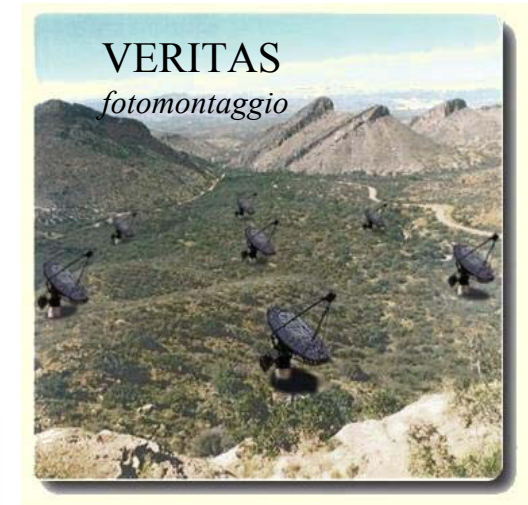
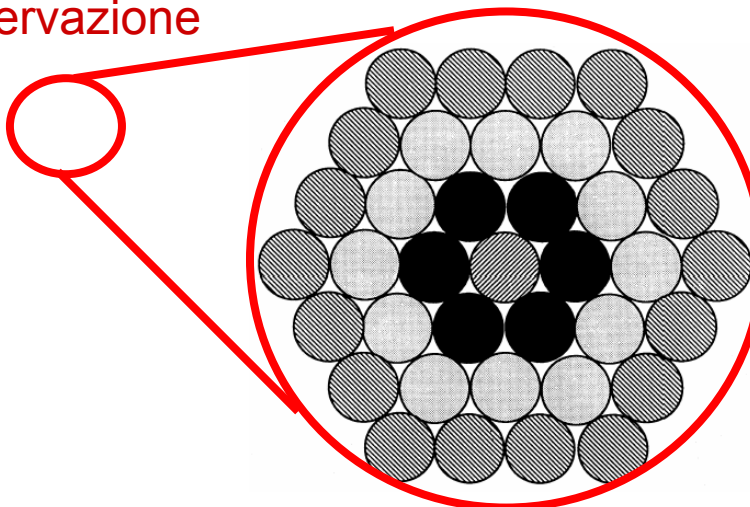
Whipple: singolo fototubo

1972: prima indicazione di TeV γ -rays dalla Crab Nebula (Fazio et al.)

- ON-OFF (direzione)
- **3 σ in 3 anni di osservazione!**

Imaging technique: 1st generation of IACT

- ◆ 1984: viene utilizzata la prima camera multi-PMTs da Whipple
- ◆ 1989: Emissione γ significativa identificata dalla Crab Nebula (Whipple '89)
 - ◆ $E_{thr} = 700 \text{ GeV}$
 - ◆ **9 σ in 50 h di osservazione**



VERITAS
fotomontaggio

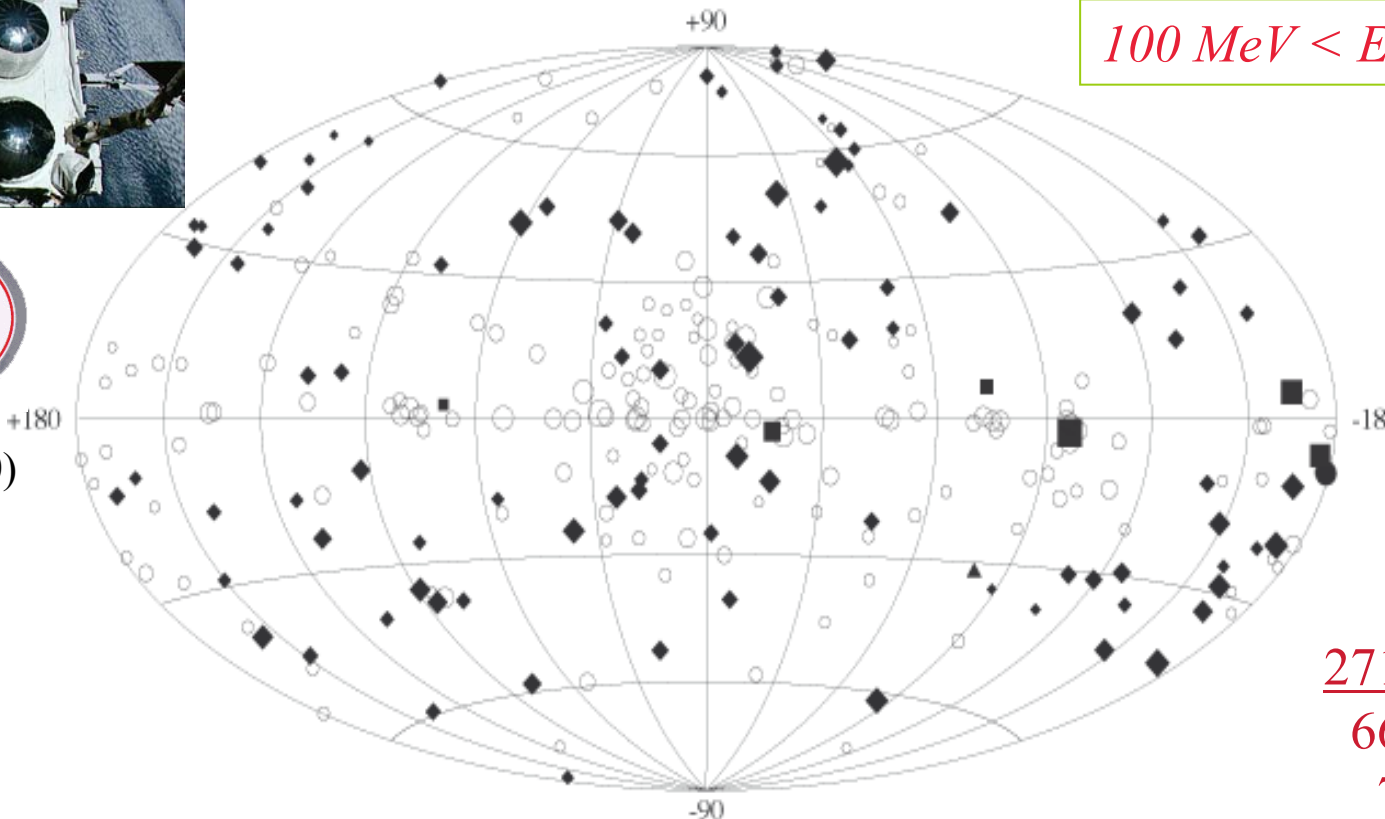
1995: HEGRA
array di telescopi

Crab detection
time: 15 min

Il cielo γ dal satellite...



(1991-2000)



◆ Active Galactic Nuclei
○ Unidentified EGRET Sources

■ Pulsars
▲ LMC
● Solar Flare

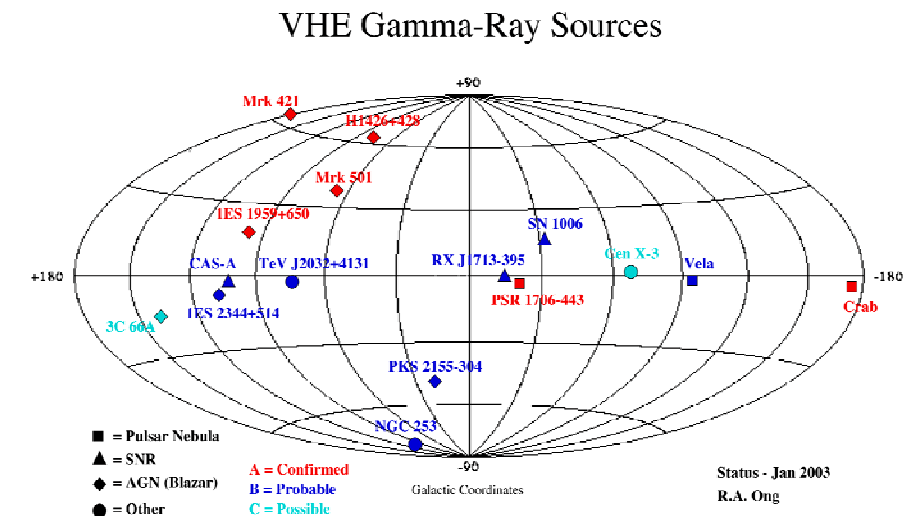
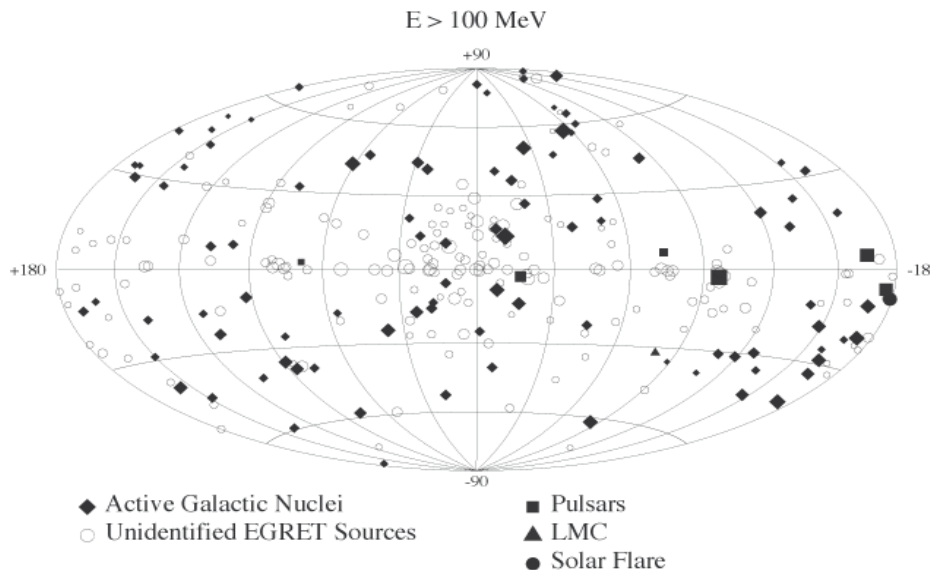
271 sources
66 AGNs
7 pulsars
196 UNID

Satellites vs ground experiments The energy gap

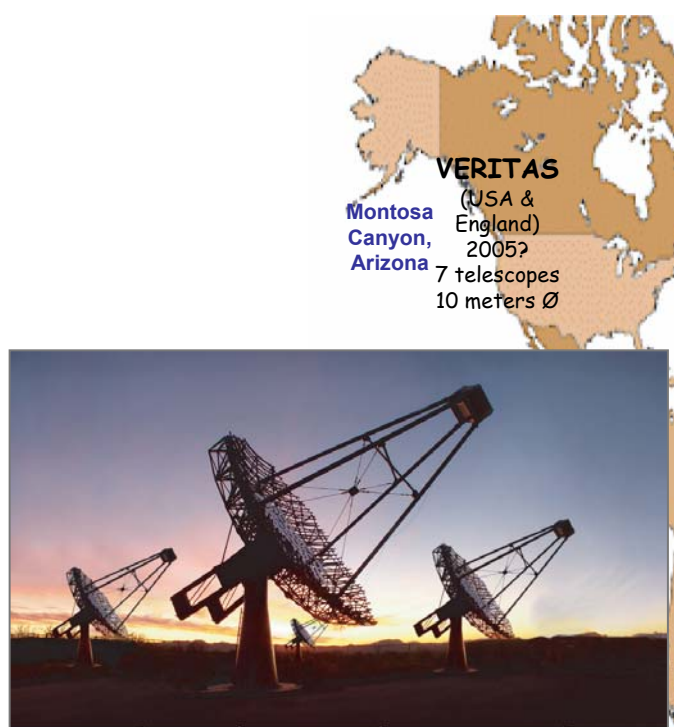


$E < 10 \text{ GeV}$

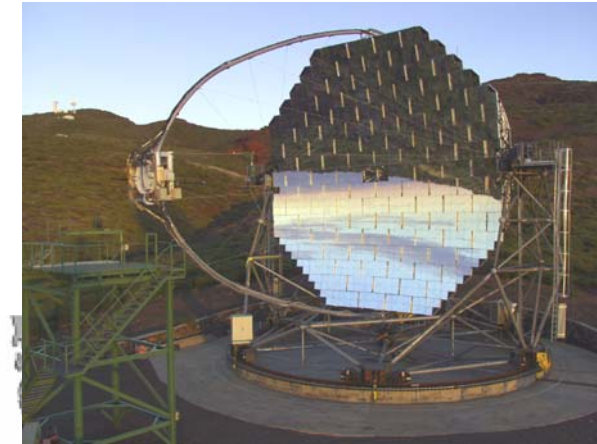
$E > 300 \text{ GeV}$



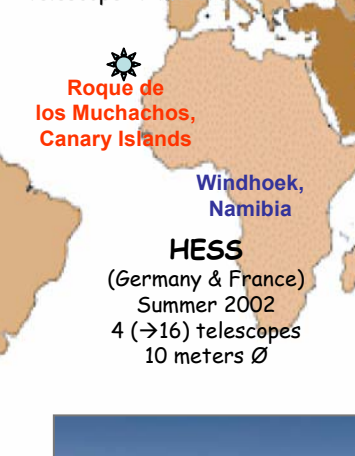
“Big four”



VERITAS
Montosa
Canyon,
Arizona
(USA &
England)
2005?
7 telescopes
10 meters Ø



MAGIC
(Germany, Italy & Spain)
Summer 2003
1 telescope 17 meters Ø



Roque de
los Muchachos,
Canary Islands

Windhoek,
Namibia
HESS
(Germany & France)
Summer 2002
4 (->16) telescopes
10 meters Ø



CANGAROO III
(Australia & Japan)
Spring 2004
4 telescopes 10 meters Ø
Woomera,
Australia



Crab detection
time: 1 min

Anticosti
Island

Crab detection
time: 3 min

IACT: il presente

- ★ **increased sensitivity and better angular resolution:**
 - ★ improve and perfect stereo technique with highly pixelized camera (HESS, Cangaroo, Veritas)
- ★ **lower energy threshold (MAGIC)**

Energy Threshold

$$E \propto \sqrt{\frac{\phi \Omega \tau}{A \epsilon}}$$

\downarrow \downarrow

Ω - Pixel Solid Angle
 τ - Integration time

\uparrow \uparrow

A - Mirror Area
 ϵ - Quantum Efficiency

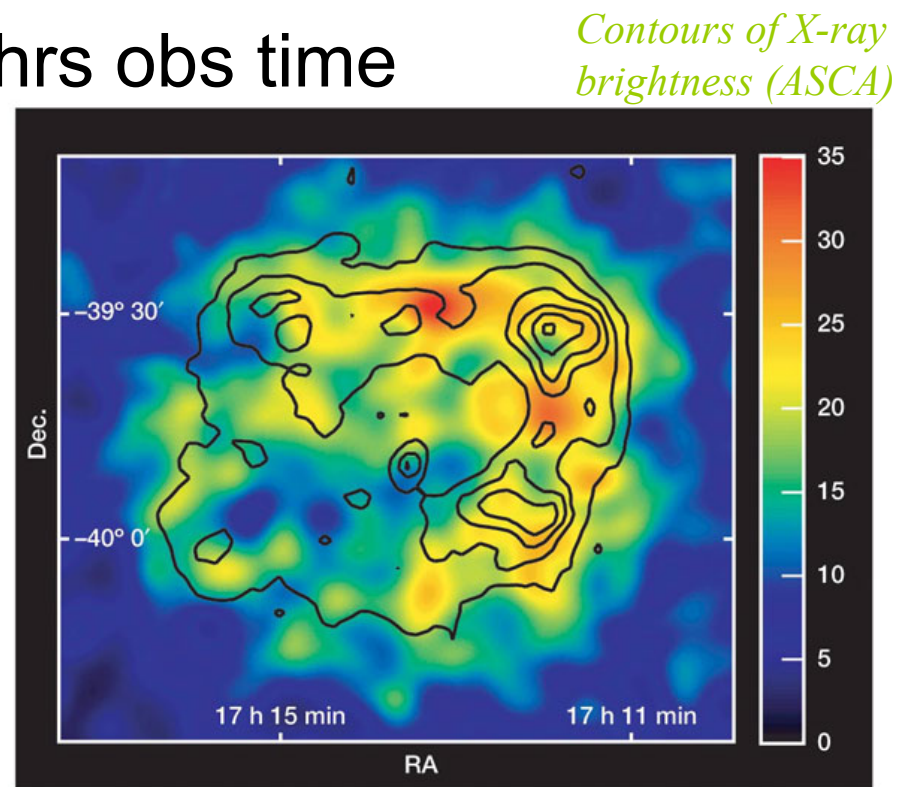


Sensitivity and resolution

- ★ SNR RX J1713.7-3946
- ★ HESS @ 800GeV; 26hrs obs time
- ★ Angular resolution: < 0.1 deg
- ★ SNR: Very important as possible CR accelerator!
- ★ Flux 0.66 Crab; $\Gamma=2.2$

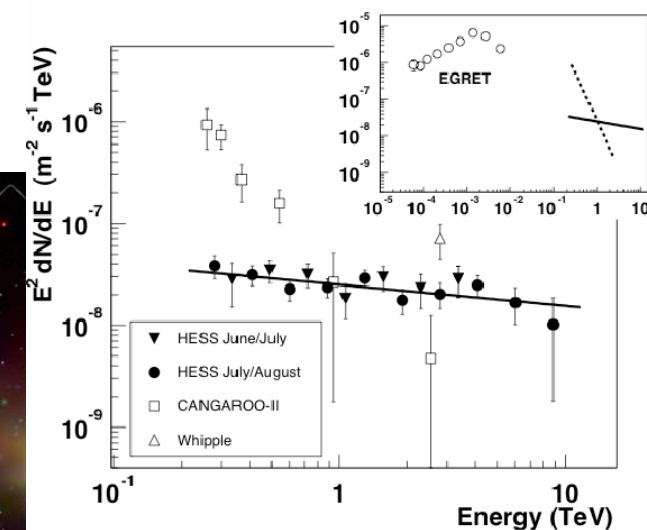
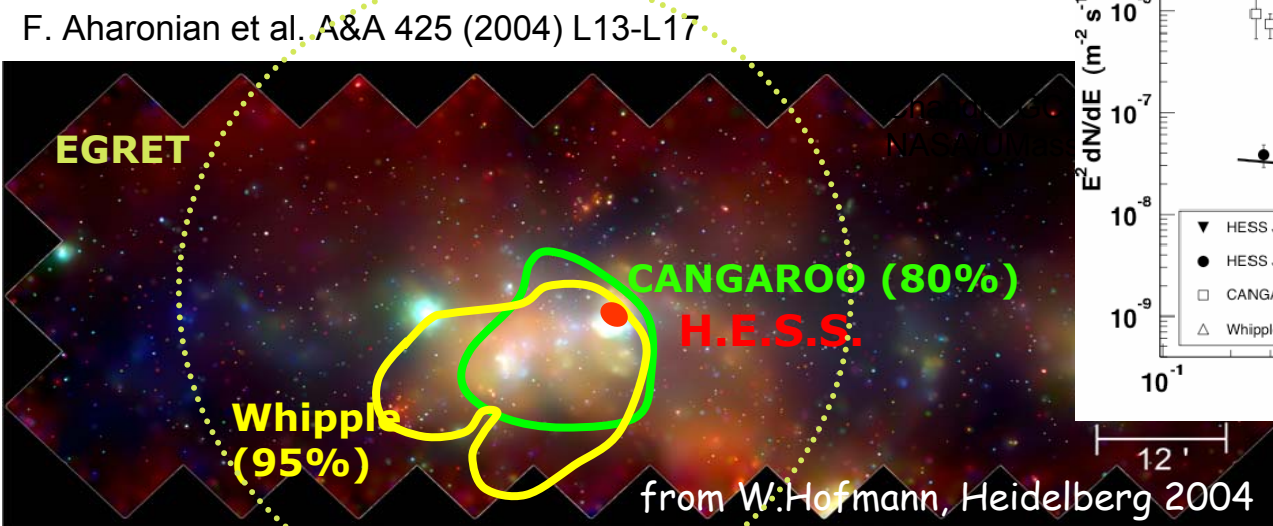
gamma-imaging!

Aharonian et al.,
Nature, 4 nov 2004



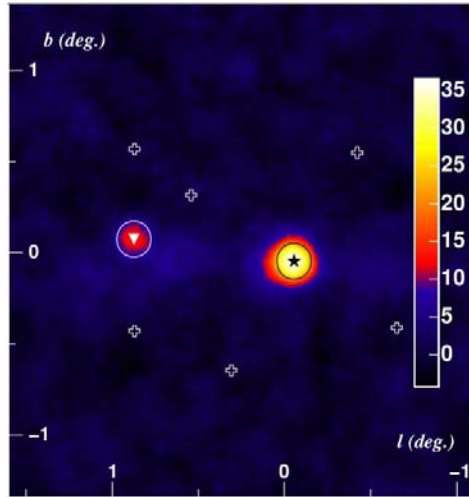
Sensitivity and resolution

- ★ HESS - Galactic Center
 - ★ Flux 5% Crab; $\Gamma=2.2$; size: 7' (7pc)
 - ★ CANGAROO conflict...

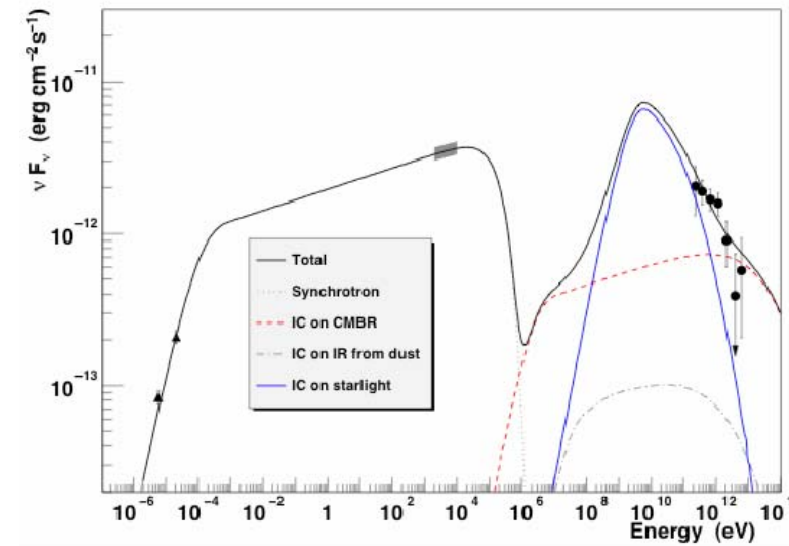


Sensitivity and resolution

- ★ Un acceleratore di CR?
 - ★ SNR G0.9+0.1 - Flusso: 2% Crab (!)
 - ★ Scoperta casuale vicino il GC
 - ★ spettro somma di piu' componenti



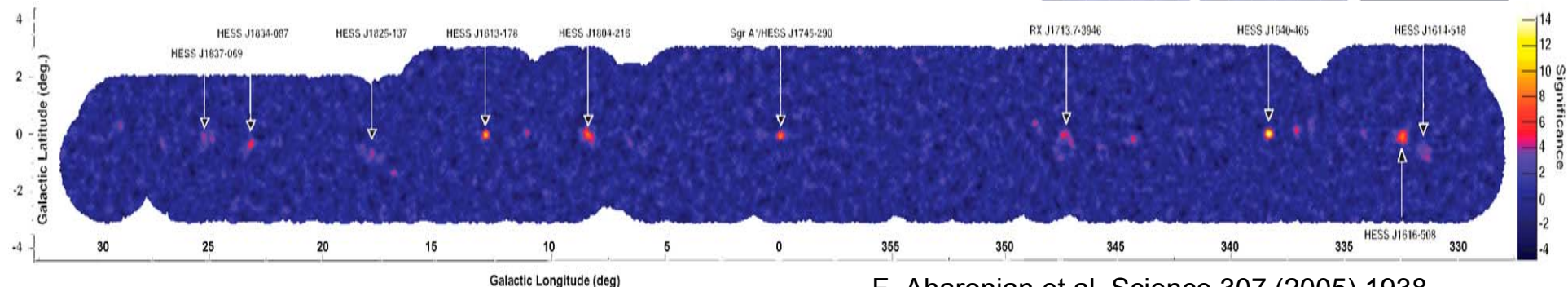
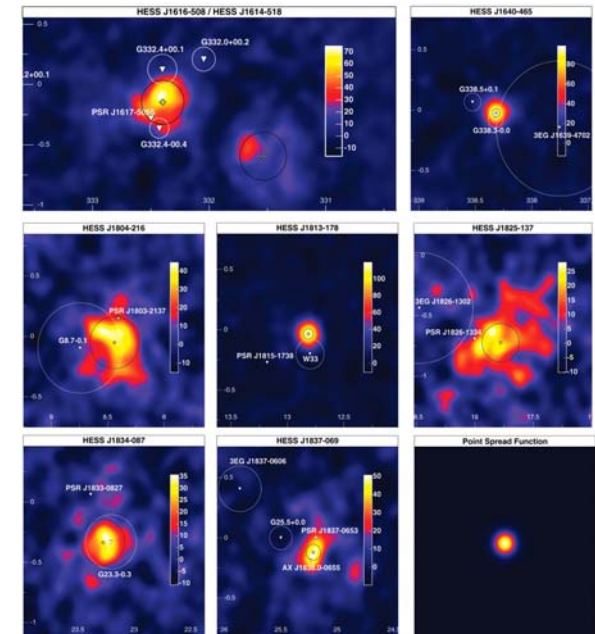
F. Aharonian et al. A&A 432 (2005) L25-L29



Sensitivity and resolution

HESS - Galactic plane survey

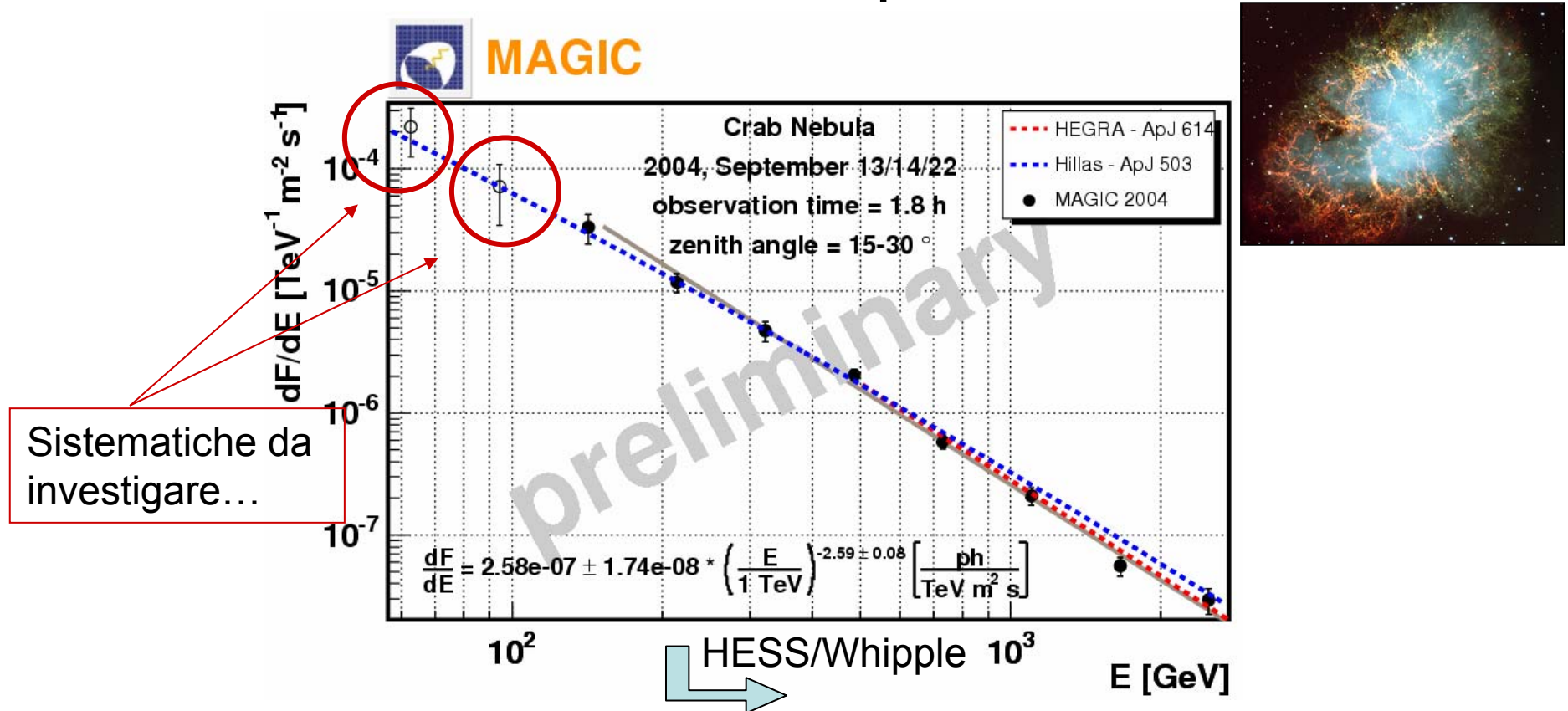
- ◆ flux > 3% Crab; E>200GeV; 110 hours total obs. time
- ◆ 8 new sources!
- ◆ possibly associated with SNR, PWN and OB associations...



F. Aharonian et al. Science 307 (2005) 1938

Low Energy threshold

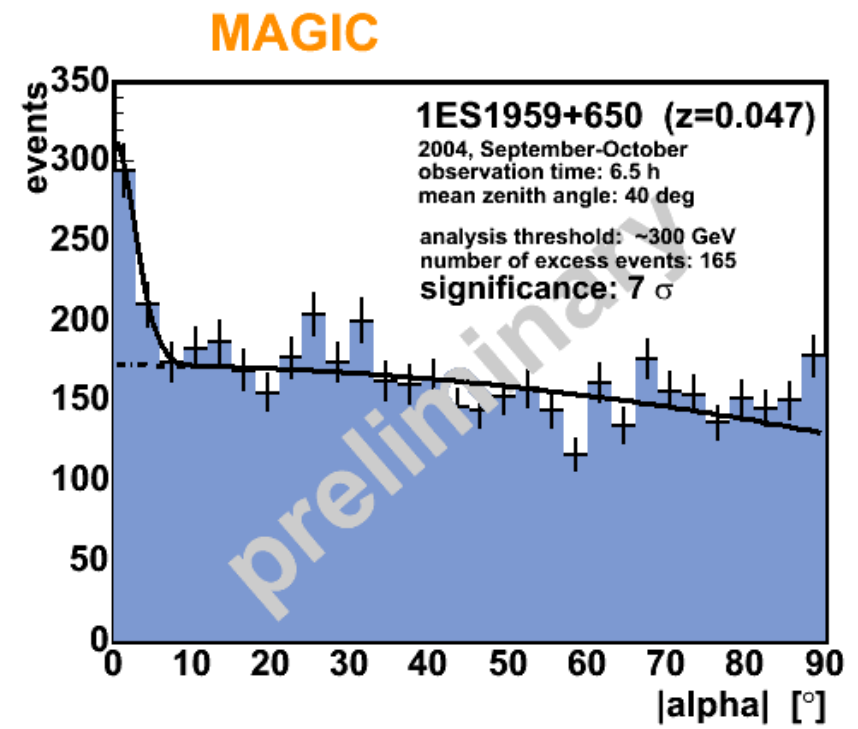
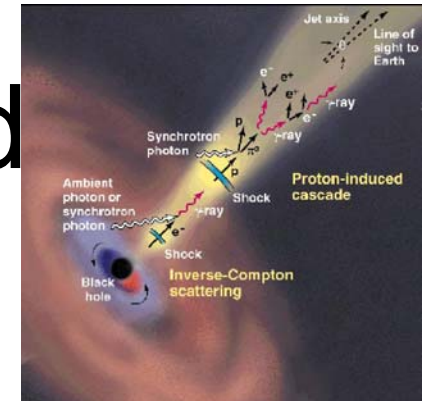
★ Crab Nebula: verso il picco IC...



Low Energy threshold

1ES1959+650

- ◆ AGN @ $z=0.047$ (intermediate)
- ◆ previously seen by Seven Telescope Array, Whipple, HEGRA (**5.4 σ** in 94h!)
- ◆ **6.5 h observation** by MAGIC in Sept - Oct 2004
- ◆ **not flaring** in X-ray (ASM)
- ◆ **7 σ detection**
- ◆ $\sim 10\%$ Crab level



Low Energy threshold

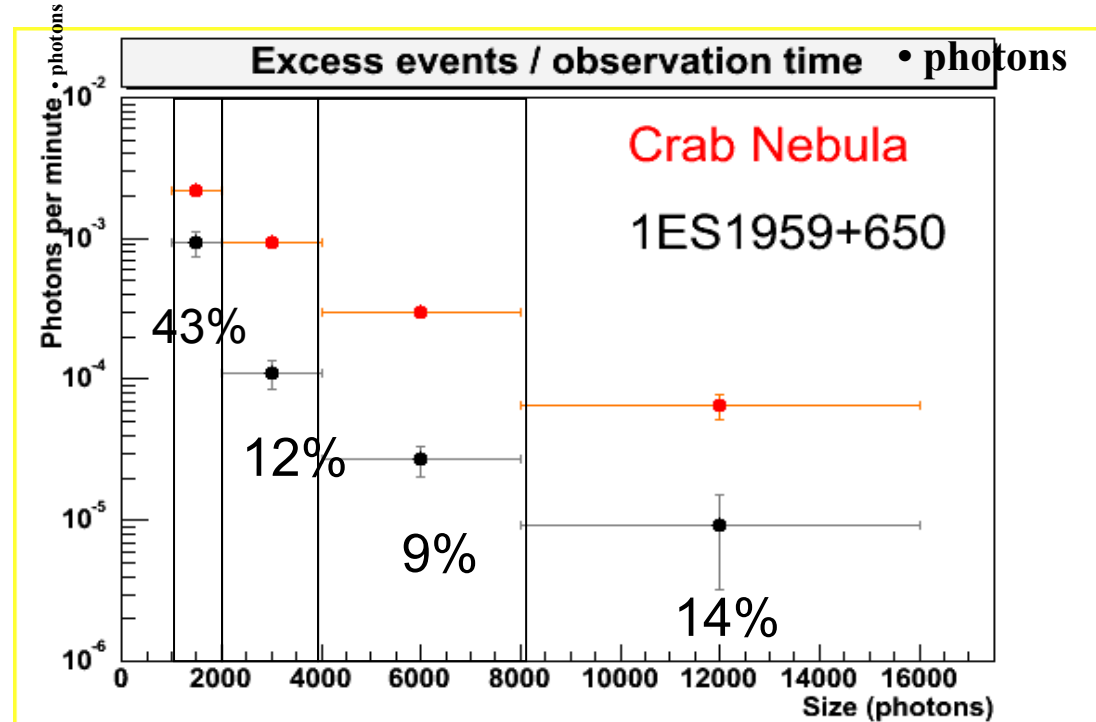
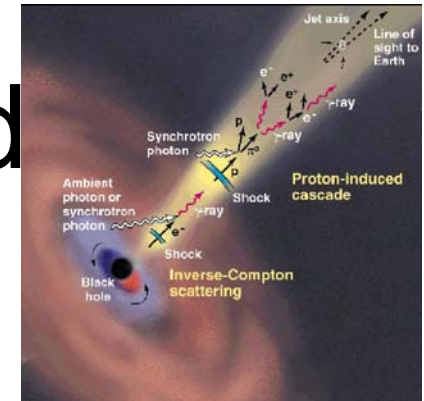
**1ES1959 flux is about 40% the Crab
Spectrum softer than the Crab one.**

“Consistent” with HEGRA flux
measurements

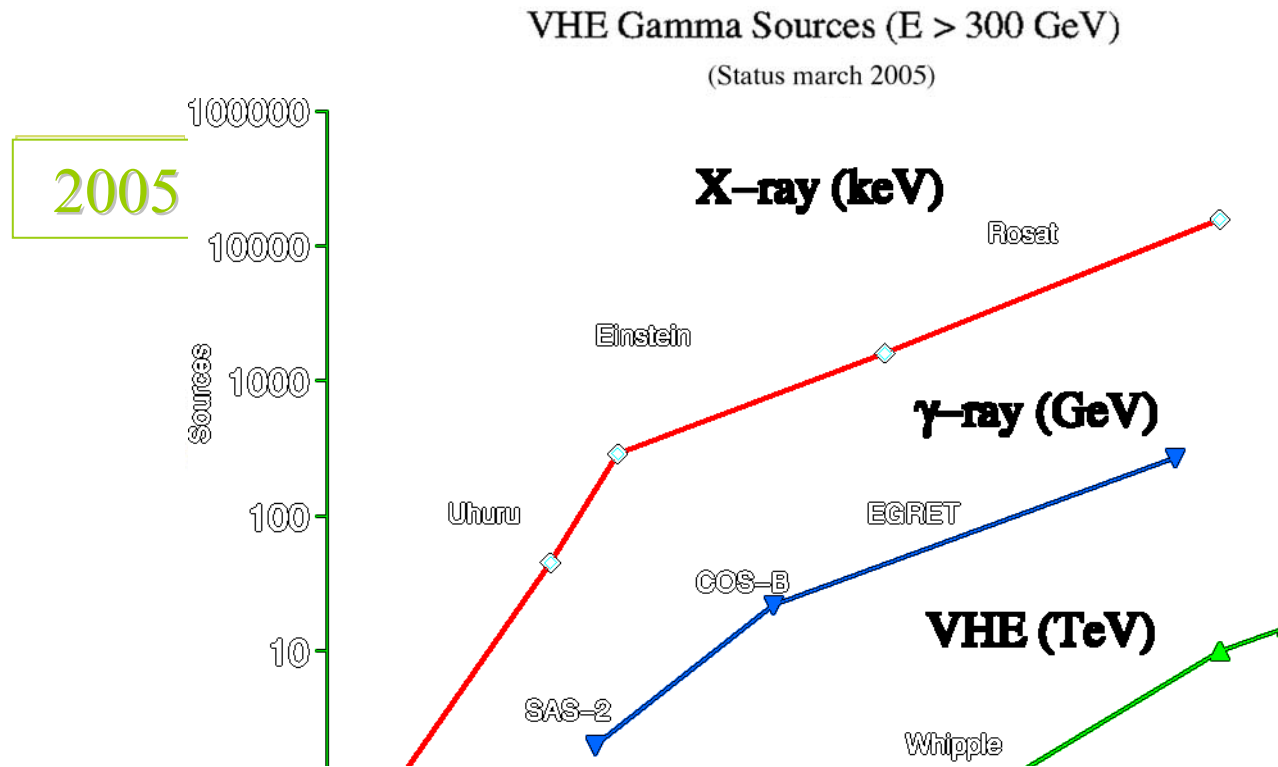
HEGRA System

Results (2000-2001):

- ◆ 94 h obs. Time.
- ◆ Energy threshold: 2TeV
- ◆ Significance 5.4 σ
- ◆ $\alpha = 3.3 \pm 0.7$
- ◆ 8% Crab flux



Prospettive...



“Phase Transition: Number of VHE Sources getting
Larger than Number of PhD Students”

W.Hofmann

Futuro (prossimo)

- ★ MAGIC II
 - ★ Clone “potenziato”
 - ★ High QE HPD (SiPM...), 2GHz sampling, 1000 pixels...



Futuro (prossimo)

★ HESS II

- ★ Clone “maggiorato”; test bed per 5@5
- ★ Sensitività a basse energie (50GeV)



Futuro...

- ★ 5@5 (array 5 GeV - 5 km)
- ★ ECO-1000 (1000 m², >5 GeV...)
- ★ STAR (Small Telescope Array)

- ★ Sulla carta...
 - ★ costi ~ 100 M€
 - ★ eventi Cherenkov bassa energia (< 50-100GeV) difficili da analizzare!!

Conclusioni

- ★ L'astrofisica alle alte energie (VHE) è indispensabile alla comprensione dei fenomeni non termici
- ★ I telescopi Cherenkov rappresentano una tecnica affidabile di indagine del cielo γ , complementare alle osservazioni da satellite (GLAST) e ν -telescopes (NEMO, ANTARES, ICECUBE)
- ★ Il cielo gamma si sta popolando...